



2020

Attention Branch Network: Learning of Attention Mechanism for Visual Explanation

汇报人: Lee

日期: 2020年10月18日

Part 1

背景与动机

Part 2

网络结构与训练

Part 3

实验结果

Part 4

问题与讨论



CONTENTS

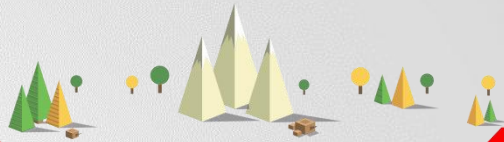


01

PART 01

第一部分

背景与动机



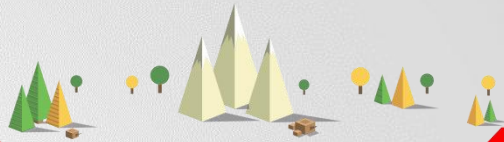
➤ 使人们理解CNN的决策

- ✓ 得到客户的认可
- ✓ 研究模型的泛化能力、安全性问题及模型局限
- ✓ 追溯模型预测结果

➤ 提高分类器的表现

- ✓ 通过注意力机制自动去除干扰特征
- ✓ 指导数据增强策略

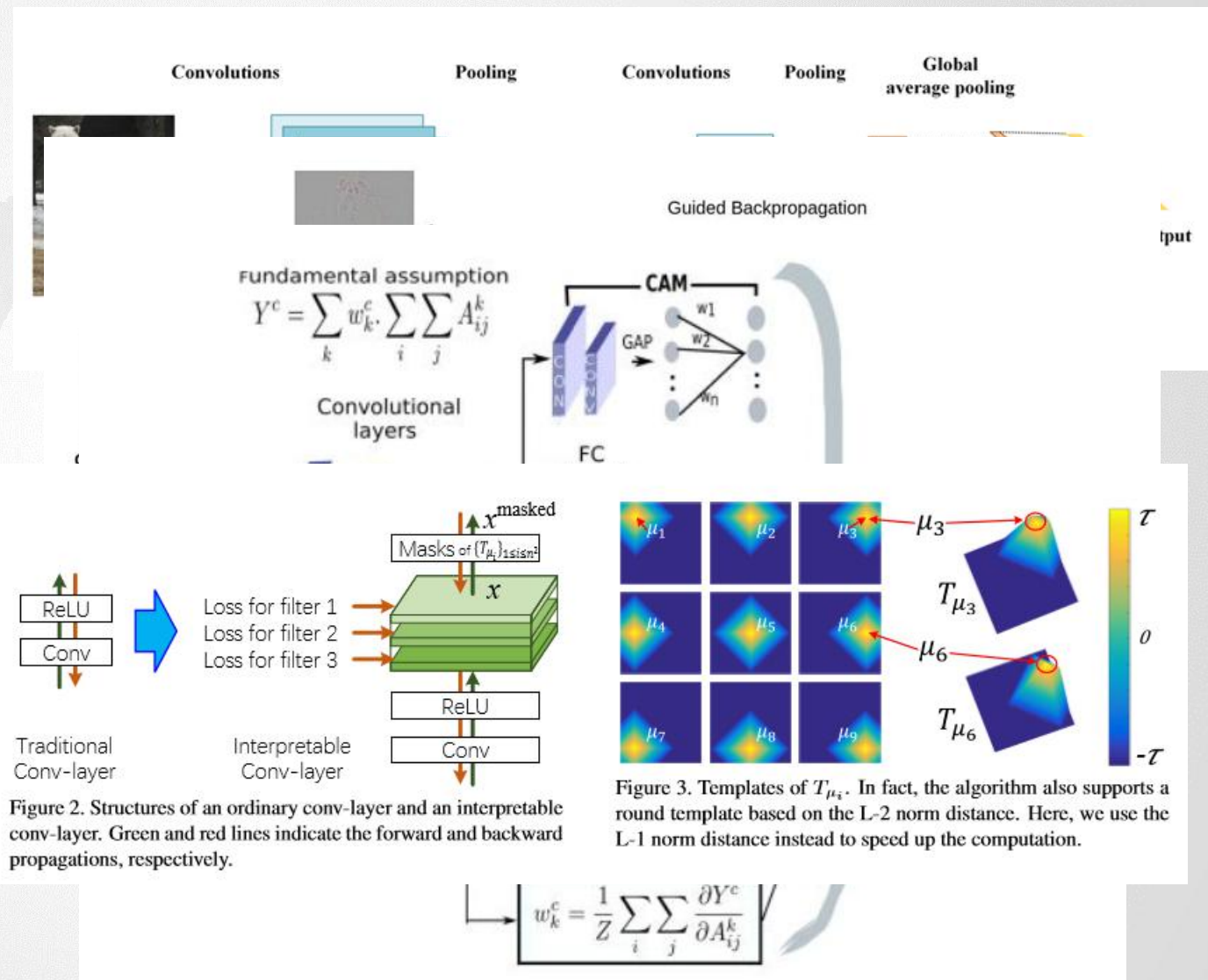
ABN的主要贡献



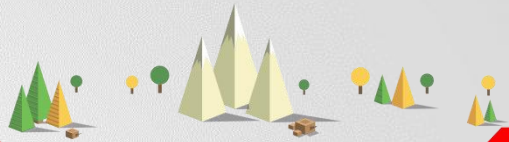
- 提高CNN的分类效果的首次尝试
- 适用于多种基线模型，可多任务训练
- 用注意力激活图可视化

已有的的一些工作

- ✓ CAM
- ✓ Grad-CAM
- ✓ Grad-CAM ++
- ✓ interpretable CNN



ABN与CAM和Grad-CAM区别



- 不用像Grad-CAM那样要做反向传播
- 可以使用全连接网络，提高CNN的表达能力



02

PART 02

第二部分

网络结构与实现原理

网络结构



➤ 特征提取器

➤ 注意力分支

➤ 感知分支

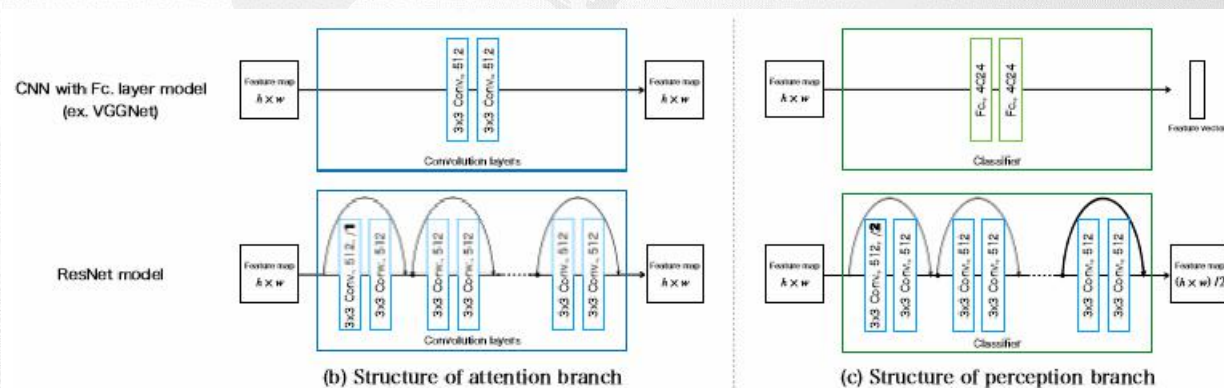
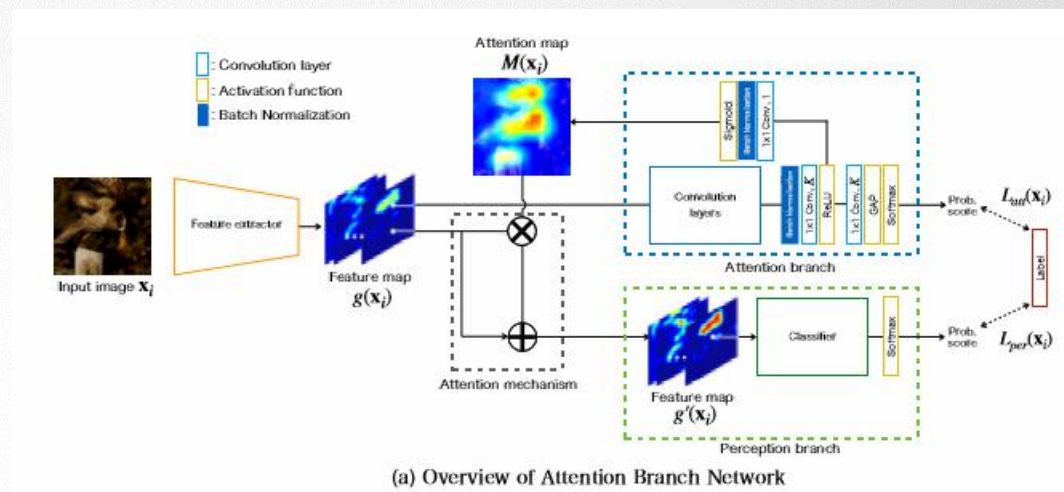
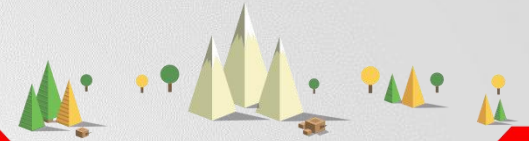


Figure 2. Detailed structure of Attention Branch Network.

Loss



$$L(\mathbf{x}_i) = L_{att}(\mathbf{x}_i) + L_{per}(\mathbf{x}_i)$$

$L_{att}(\mathbf{x}_i)$ denotes training loss at the attention branch with an input sample \mathbf{x}_i , and $L_{per}(\mathbf{x}_i)$ denotes training loss at the perception branch.

多任务学习

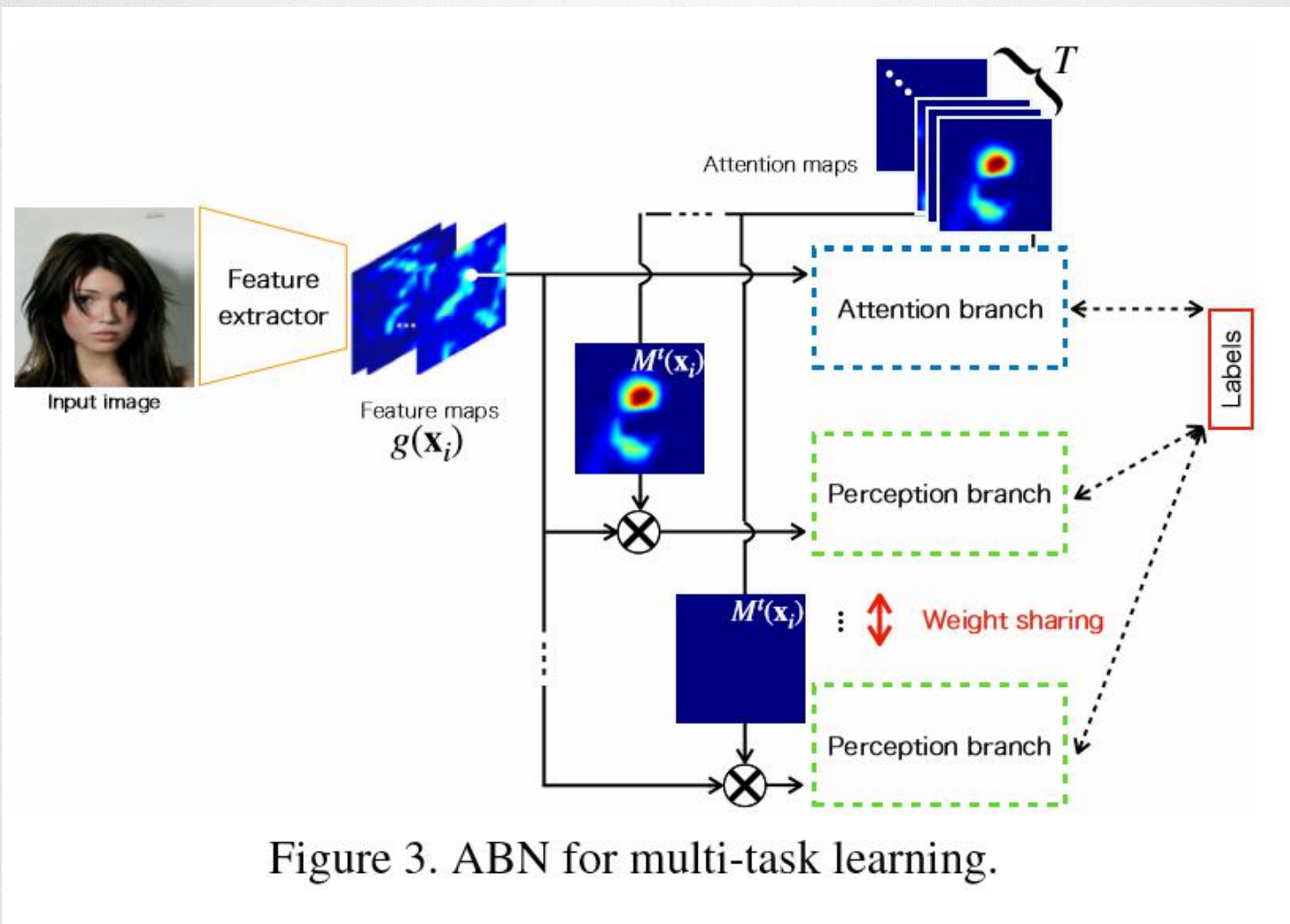


Figure 3. ABN for multi-task learning.



03

PART 03

第三部分

实验结果



Table 1. Comparison of the top-1 errors on CIFAR100 with attention mechanism.

	$g(\mathbf{x})$	$g(\mathbf{x}) \cdot M(\mathbf{x})$	$g(\mathbf{x}) \cdot (1 + M(\mathbf{x}))$
ResNet20	31.47	30.61	30.46
ResNet32	30.13	28.34	27.91
ResNet44	25.90	24.83	25.59
ResNet56	25.61	24.22	24.07
ResNet110	24.14	23.28	22.82

图像分类



Table 2. Comparison of top-1 errors on CIFAR10, CIFAR100, SVHN, and ImageNet dataset.

Dataset	CIFAR10	CIFAR100	SVHN [23]	ImageNet [5]
VGGNet [14]	—	—	—	31.2
VGGNet+BN	—	—	—	26.24*
ResNet [9]	6.43	24.14*	2.18*	22.19*
VGGNet+CAM [41]	—	—	—	33.4
VGGNet+BN+CAM	—	—	—	27.42* _(+1.18)
ResNet+CAM	—	—	—	22.11* _(-0.08)
WideResNet [38]	4.00	19.25	2.42*	21.9
DenseNet [11]	4.51	22.27	2.07*	22.2
ResNeXt [34]	3.84*	18.32*	2.16*	22.4
Attention [32]	3.90	20.45	—	21.76
AttentionNeXt [32]	—	—	—	21.20
SENet [12]	—	—	—	21.57
VGGNet+BN+ABN	—	—	—	25.55 _(-0.69)
ResNet+ABN	4.91 _(-1.52)	22.82 _(-1.32)	1.86 _(-0.32)	21.37 _(-0.82)
WideResNet+ABN	3.78 _(-0.22)	18.12 _(-1.13)	2.24 _(-0.18)	—
DenseNet+ABN	4.17 _(-0.34)	21.63 _(-0.64)	2.01 _(-0.06)	—
ResNeXt+ABN	3.80 _(-0.04)	17.70 _(-0.62)	2.01 _(-0.15)	—
SENet+ABN	—	—	—	20.77 _(-0.80)

* indicates results of re-implementation accuracy

图像分类

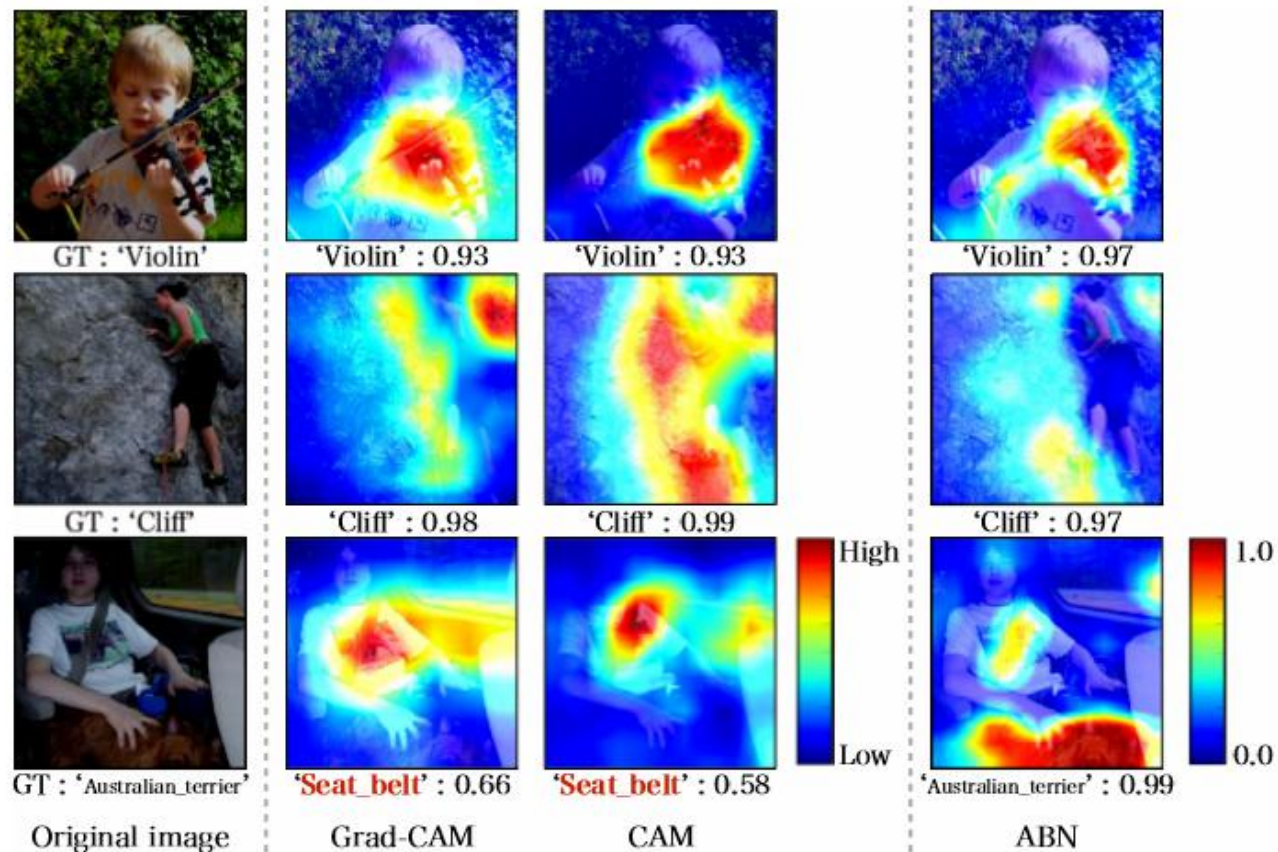


Figure 4. Visualizing high attention area with CAM, Grad-CAM, and our ABN. CAM and Grad-CAM are visualized attention maps at top-1 result.



Table 3. Comparison of car model and maker accuracy on CompCars dataset

task	model [%]	maker [%]
VGG16	85.9	90.4
ResNet101	90.2	90.1
VGG16+ABN	90.7	92.9
ResNet101+ABN	97.1	98.1

细粒度识别

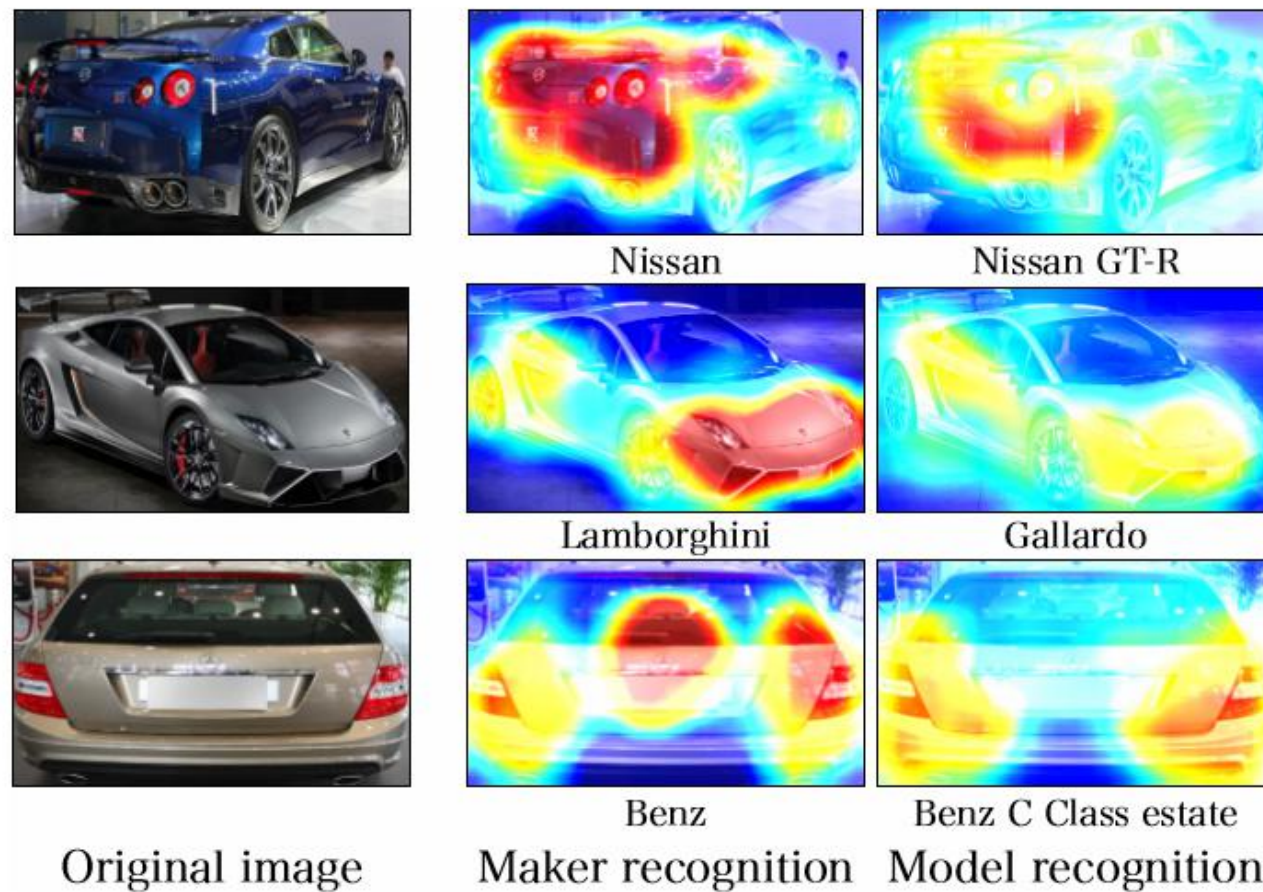


Figure 5. Visualizing attention map on fine-grained recognition.



Table 4. Comparison of multiple facial attribute recognition accuracy on CelebA dataset

Method	Average of accuracy [%]	Odds
FaceTracer [16]	81.13	40/40
PANDA-1 [40]	85.43	39/40
LNet+ANet [42]	87.30	37/40
MOON [28]	90.93	29/40
ResNet101	90.69	27/40
ABN	91.07	—

多任务学习

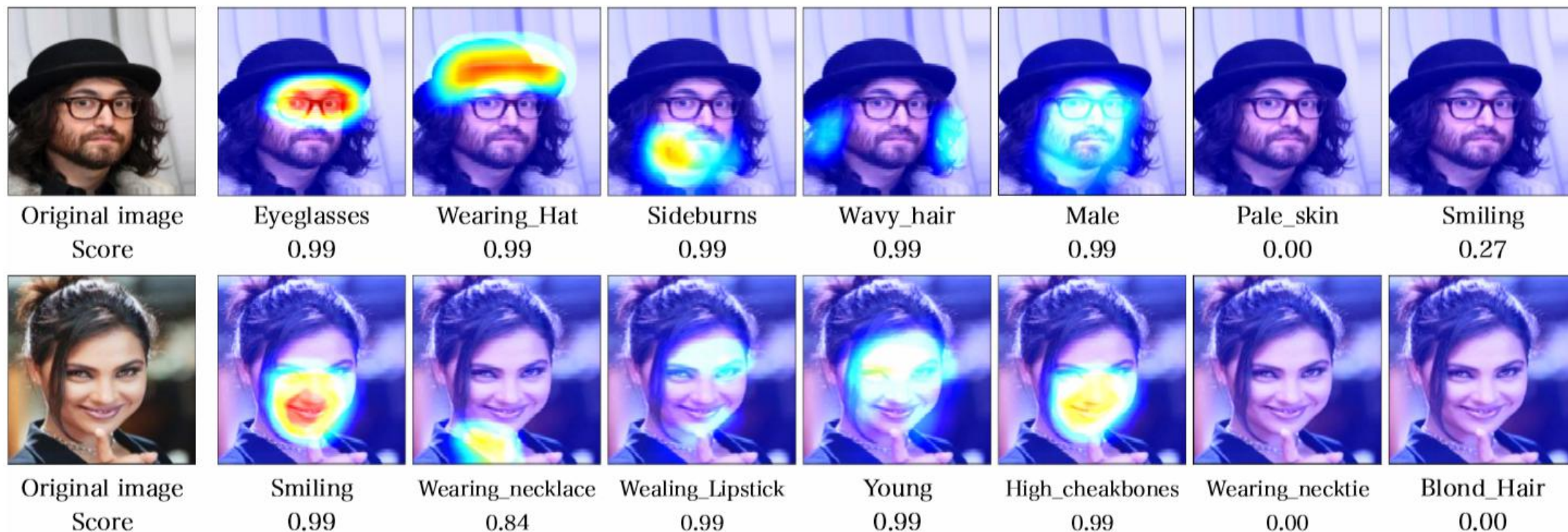


Figure 7. Visualizing attention maps on multiple facial attributes recognition. These scores are final recognition scores at the perception branch.



04

PART 04

第四部分

问题与讨论



谢谢！